

УДК 532.591

ФОРМИРОВАНИЕ ПРОСТРАНСТВЕННЫХ ВНУТРЕННИХ ВОЛН ЗА ТЕЛОМ, ДВИГАЮЩИМСЯ В СТРАТИФИЦИРОВАННОЙ ВЯЗКОЙ ЖИДКОСТИ

© 2023 г. П. В. Матюшин*

Институт автоматизации проектирования РАН, Москва, Россия

*E-mail: pmatyushin@mail.ru

Поступила в редакцию 27.12.2022 г.

После доработки 27.02.2023 г.

Принята к публикации 28.02.2023 г.

Рассмотрено равномерное движение диска в горизонтальном направлении вдоль оси его симметрии в покоящейся стратифицированной вязкой жидкости. Диск генерирует пространственные гравитационные внутренние волны, занимающие все пространство между диском и местом его старта. Волны наблюдаются при помощи двухцветной бета-плюс-визуализации вихревой структуры течения, рассчитанного при помощи системы уравнений Навье–Стокса в приближении Буссинеска. В настоящей работе существенно дополнен опубликованный ранее механизм формирования полуволн над осью симметрии диска, где основное внимание уделялось периодическому процессу зарождения деформированных вихревых колец над местом старта диска, происходящему в силу гравитационной и сдвиговой неустойчивостей; левое полукольцо трансформируется в полуволну впадин или гребней, а правое полукольцо исчезает со временем. В настоящей работе установлено, что левые части правых нечетных полуколец превращаются в осевые части полуволн гребней.

Ключевые слова: диск, стратифицированная вязкая жидкость, вихревая структура, волна, нить, петля

DOI: 10.31857/S1024708422601019, **EDN:** WKFNOM

Понимание процесса формирования сложных пространственных (3D) вихревых структур в жидкости, инициированного прохождением тела конечных размеров сквозь нее, всегда вызывало большой интерес. Одним из способов получения этой сложной 3D-структурой была визуализация полей векторов скорости, рассчитанных при помощи математического моделирования этого процесса. Если использовать сферу, как простейшее 3D-тело конечных размеров, и однородную несжимаемую вязкую жидкость, то топология 3D вихревой структуры будет достаточно сложной. В 1987 г. в [1] начало процесса формирования цепочки вихревых петель в следе за сферой визуализировали при помощи нескольких мгновенных 3D-линий завихренности. Этот процесс довольно трудоемкий, так как для каждой такой линии надо грамотно задать ее начальную точку. В результате появления в 1988–1995 гг. новых подходов к визуализации вихревых структур в жидкости и газе, описанных в [2], стало возможным получать рассчитанные 3D вихревые структуры в следе за сферой [3, 4], топологии которых качественно совпадали с экспериментом [5]. В 2006 г. был впервые детально рассмотрен механизм формирования вихрей (МФВ) в следе за сферой, равномерно двигающейся в однородной несжимаемой вязкой жидкости, приводящий к формированию цепочки вихревых петель в виде шпилек для волос [6]. МФВ здесь работает в рециркуляционной области R следа, расположенной за сферой (рис. 1ж–1з).

В случае линейно стратифицированной по плотности несжимаемой вязкой жидкости наблюдается симметрия поля векторов скоростей жидкости относительно горизонтальной плоскости, проходящей через геометрический центр O выпуклого симметричного тела. Поэтому, для определенности, динамика изменения структуры течения стратифицированной жидкости описывается только в верхнем полупространстве над точкой O . Пусть точка F находится над точкой O на пересечении поверхности тела с вертикальной осью X , проходящей через точку O и направленной вверх. Например, для сферы точка F будет ее верхним полюсом. В [7] сфера покоятся на уровне нейтральной плавучести в покоящейся стратифицированной вязкой жидкости. Несмот-

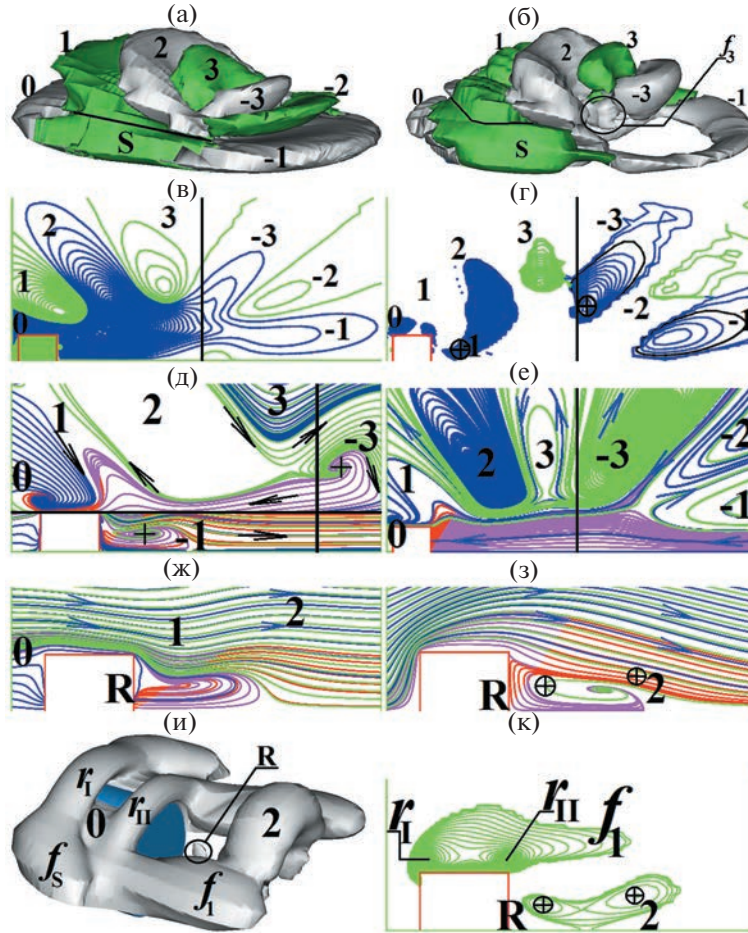


Рис. 1. Течение около диска при $T = 1.5$, $Fr = 0.3$, $Re = 50$, $T_b = 2\pi$ с: $a-b$, u – изоповерхности $\omega^+ = |\text{rot } \mathbf{v}|^+ = \pm 0.01$, $\beta^+ = \pm 0.01$, $\beta = 0.2$; $v-g$, κ – изолинии $\omega_\phi = (\text{rot } \mathbf{v})_\phi$ с шагом 0.02 (v) и β^+ с шагом 2×10^{-3} (g) в вертикальной плоскости $x-z$ и β^+ с шагом 0.04 в плоскости $y-z$ (k); $d-z$ – мгновенные линии тока в $CK3(0, -0.01, 0)$ при $0 \leq x \leq d/2$ и в $CK3(0.973, 0.005, 0)$ при $x > d/2$, соответственно (d), в $CK2$ (e) и в $CK1$ в плоскостях $x-z$ (j) и $y-z$ (j).

ря на то что силы диффузии толкают жидкость во всех направлениях, и в силу того, что многие части поверхности сферы находятся под углом к горизонту, около них при $X > 0$ создаются течения жидкости, индуцированные диффузией, направленные к точке F . Течение это будет очень медленным и осесимметричным относительно оси X . В [7] показано, что в окрестности прямой X периодически над самым верхним кольцом в силу гравитационной и сдвиговой неустойчивостей генерируется новое осесимметричное вихревое кольцо, которое уменьшает вертикальные размеры ранее сгенерированных колец. Каждая пара колец составляет одну гравитационную внутреннюю волну. Групповые скорости этих волн перпендикулярны их фазовой скорости и направлены по радиус-векторам от точки F [7]. Далее около точки F остаются только два вихревых кольца, сильно сплюснутых в вертикальном направлении и наблюдаемых в эксперименте [7]. Таким образом, краткая формулировка МФВ в [7] звучит так: “На точку F падают кольца”.

Если вместо сферы взять диск с горизонтальной осью симметрии Z , то диффузия индуцирует течение жидкости только около боковой поверхности диска [8]. Поэтому в [7] сингулярная точка F – узел, а в [8] – седло. В [8] на точку F сначала падают деформированные вихревые прямоугольники вместо колец. Далее вихревая структура становится все более хаотичной.

В настоящей статье рассмотрено равномерное движение диска из статьи [8] вдоль оси Z справа налево. Пусть Q – место старта центра тыльной стороны диска. На рис. 1в–1е точка Q находится на пересечении черной вертикальной прямой и оси Z , совпадающей с нижней границей рисунков. Из линейной теории и экспериментов известно, что старт тела сопровождается излу-

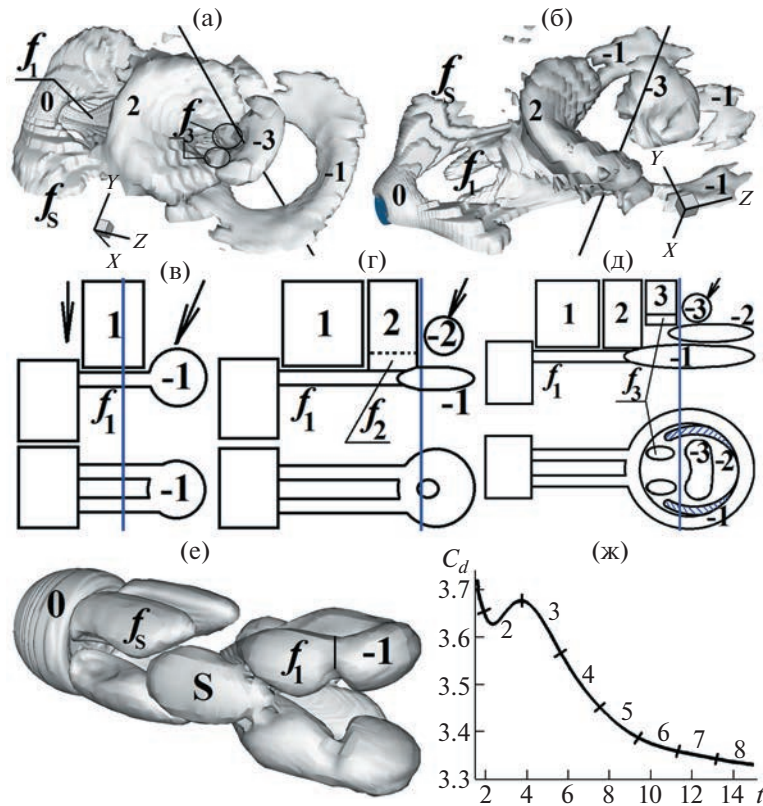


Рис. 2. Течение около диска при $Re = 50$, $T_b = 2\pi$ с: *a–б* – изоповерхности (β_-) = 2×10^{-3} и (λ_2-) = -3×10^{-6} при $x < 0$, $Fr = 0.8$, $T = 1.51$; *в–д* – схематическое представление изоповерхностей β при $x > 0$, $Fr \leq 4$, $0.28 \leq T \leq 1.4$: *вверху* – вид сбоку, *внизу* – вид снизу; *е* – изоповерхность $\beta = 0.003$ при $Fr = 4$, $T = 0.28$; *ж* – временная зависимость коэффициента \bar{C}_d сопротивления диска при $Fr = 0.3$, цифрами k соответствуют временные промежутки $[0.5T_b(k-1), 0.5T_bk]$.

чением пучка нестационарных гравитационных внутренних волн, которые распространяются от Q вдоль радиус-векторов [9, 10]. Математическое моделирование позволяет детально изучить этот процесс излучения пучка волн, подробно исследуя динамику 3D вихревой структуры течения жидкости. Детальное описание этого процесса было дано в [11]. Сначала между диском и точкой Q формируются две вихревые нити f_1 , которые потом трансформируются в ножки вихревой петли -1 , головная часть -1 которой расположена правее Q (рис. 2е). Потом над Q периодически зарождаются деформированные вихревые кольца k , где $k = 2, 3, 4 \dots$. Таким образом, краткая формулировка МФВ в [11] звучит так: “На точку Q падают деформированные кольца”. То есть краткие формулировки МФВ в статьях [7] и [11] практически совпадают.

Здесь надо подчеркнуть важное различие МФВ для однородной и стратифицированной жидкостей. Если в однородной жидкости вихревая структура течения формируется непосредственно за телом [6], то в стратифицированной жидкости – над местом старта тела [11].

В [11] большое внимание уделяется объяснению механизма формирования вихревых колец над Q , происходящему из-за гравитационной и сдвиговой неустойчивостей. В [11] демонстрируется, что левое полукольцо k трансформируется в полуволну впадин или гребней, а правое полукольцо $-k$ исчезает со временем. Дело в том, что водоворот жидкости, инициируемый стартом диска, заставляет левые полукольца крутиться сильнее, чем правые. В результате этого размеры левых полуколец увеличиваются, а величина завихренности в них будет на порядок больше, чем в правых полукольцах (рис. 1а, 1в). Таким образом, внутренние полуволны (бывшие левые полукольца) занимают все пространство между диском и точкой Q .

Начальная и последующие стадии МФВ сильно отличаются в приведенном выше кратком изложении. Желание получить более универсальный МФВ в широком диапазоне чисел Fr и дополнительные всесторонние исследования динамики 3D вихревой структуры течений стратифици-

рованной вязкой жидкости привели к появлению настоящей статьи. В ней МФВ существенно доработан по сравнению с [11], и переименован в механизм формирования внутренних волн (МФВВ). Формулировка этого МФВВ будет дана после описания постановки этой задачи, методов ее численного решения и визуализации 3D вихревой структуры течений жидкости.

1. ПОСТАНОВКА ЗАДАЧИ

Диск с диаметром d и толщиной $h = 0.76d$ вносится в покоящуюся линейно стратифицированную по плотности несжимаемую вязкую жидкость и сразу же начинает равномерное движение со скоростью U вдоль горизонтальной оси симметрии Z диска справа налево. Пусть точка Q старта центра тыльной стороны диска будет началом покоящейся декартовой системы координат СК2 (z, x, y, \cdot), где ось x – вертикальна, ось z совпадает с осью Z . Пусть начало двигающейся декартовой системы координат СК1 (Z, X, Y) с вертикальной осью X связано с геометрическим центром O диска. Для решения поставленной задачи моделируется вспомогательная задача обтекания диска равномерным потоком жидкости со скоростью U в СК1. Направление потока жидкости совпадает с положительным направлением оси Z .

Пусть T_b – период плавучести жидкости, T – обезразмеренное на T_b время, прошедшее с момента внесения диска в жидкость. Плотность жидкости $\rho(Z, X, Y) = 1 - 0.5 \cdot X/A + S(Z, X, Y)$ обезразмерена на плотность ρ_0 на уровне центра диска, а координаты Z, X, Y – на $d/2$, где $A = \Lambda/d$ – отношение масштабов, $N_b = 2\pi/T_b$ и $\Lambda = g/N_b^2$ – частота и масштаб плавучести жидкости, g – ускорение свободного падения, $S(Z, X, Y)$ – обезразмеренное на ρ_0 возмущение соленоиды, которое при $T = 0$ равно нулю.

Для математического моделирования вспомогательной задачи обтекания диска в СК1 решается следующая обезразмеренная система уравнений Навье–Стокса в приближении Буссинеска [12]:

$$\frac{\partial S}{\partial t} + (\mathbf{v} \cdot \nabla) S = \frac{2}{Sc \cdot Re} \Delta S + \frac{v_x}{2A} \quad (1.1)$$

$$\frac{\partial \mathbf{v}}{\partial t} + (\mathbf{v} \cdot \nabla) \mathbf{v} = -\nabla p + \frac{2}{Re} \Delta \mathbf{v} + \frac{A}{2Fr^2} S \frac{\mathbf{g}}{g} \quad (1.2)$$

$$\nabla \cdot \mathbf{v} = 0 \quad (1.3)$$

Она записана в цилиндрической системе координат (Z, R, ϕ) : $Z = Z$, $X = R \cos \phi$, $Y = R \sin \phi$, где $\mathbf{v} = (v_z, v_x, v_y)$ – вектор скорости, нормированный по U ; p – возмущение давления, обезразмеренное на $\rho_0 U^2$; t – время (обезразмеренное на $f = d/(2U) = 1/(2Fr \cdot N_b)$); $Re = Ud/v$ – число Рейнольдса, $Fr = UT_b/(2\pi d)$ – внутреннее число Фруда, $Sc = v/\kappa = 709.22$ – число Шмидта; $v = 0.01 \text{ см}^2/\text{с}$ – коэффициент кинематической вязкости воды, $\kappa = 4.1 \times 10^{-5} \text{ см}^2/\text{с}$ – коэффициент диффузии соли; ∇ и Δ – операторы Гамильтона и Лапласа.

Для решения этой задачи используется численный метод расщепления по физическим фактам МЕРАНЖ [13], который успешно применялся для моделирования течений несжимаемой вязкой жидкости около сфер, цилиндров и дисков [4, 6–8, 11, 14–16], а также для течений со свободной поверхностью [13]. Детали численного метода, цилиндрической расчетной сетки, граничных условий и результатов тестирования программного комплекса математического моделирования и визуализации 3D-течений стратифицированной вязкой жидкости около диска опубликованы в [11, 14]. Приведенная в [14] классификация течений стратифицированной вязкой жидкости около диска толщиной $h = 0.76d$ при $0.05 < Fr < 100$ и $50 < Re < 500$ хорошо согласуется с трехмерными расчетами [15, 16] и с экспериментами [17, 18].

Внешняя правая граница расчетной области удалена от центра диска на $25d$. При $Fr \geq 10$ длина внутренней волны $\lambda = 2\pi Fr d \geq 20\pi d \approx 62.83d$, т.е. на выбранной расчетной сетке уместится менее чем 40% длины первой волны. Более того, амплитуда этой волны будет мала. Поэтому характер течения около диска будет эквивалентен течению однородной вязкой жидкости [6]. При $Fr = 4 - \lambda = 8\pi d \approx 25.13d$, т.е. только одна волна будет доступна для наблюдения [11]. Поэтому для рассмотренной расчетной области именно при $Fr \leq 4$ возможно исследовать генерацию внутренних волн, которые занимают все пространство расчетной сетки левее точки Q [11] (рис. 1а). Расчеты проводились на вычислительных ресурсах Межведомственного суперкомпьютерного центра Российской академии наук (МСЦ РАН).

В СК2 значения безразмерных горизонтальных компонент v_z векторов скорости, рассчитанные в СК1, уменьшаются на единицу ($v_z = v_z - 1$), а значения переменных v_x , v_y , S и p в СК2 те же, что и в СК1. Таким образом, в СК2 скорость набегающего на диск потока равна нулю, а безразмерная скорость диска равна -1 , т.е. диск равномерно двигается справа налево в покоящейся жидкости. Центр тыльной стороны диска за время $T = [t]/T_b = [t/(2FrN_b)][N_b/2\pi] = t/(4\pi Fr)$ смещается в покоящейся СК2 на расстояние $L = U[t]/(0.5d) = t = 4\pi Fr T$ влево от точки Q (рис. 1e).

2. ВИЗУАЛИЗАЦИЯ ВИХРЕВОЙ СТРУКТУРЫ ТЕЧЕНИЯ ЖИДКОСТИ

Из-за стратификации жидкости, медленной скорости диска ($Re = 50$) и симметричности диска относительно плоскости $x-z$ рассчитанные 3D-поля векторов скорости в любой момент времени характеризуются горизонтальной $y-z$ и вертикальной $x-z$ плоскостями симметрии. Следовательно, имеют смысл картины мгновенных линий тока в плоскостях $x-z$ (рис. 1e–1ж) и $y-z$ (рис. 1з). На рис. 1e для СК2 визуализируются вихревые ячейки 1, 2, 3, соответствующие внутренним полуволнам 1, 2, 3, сгенерированным при $T = 1.5$ для $Fr = 0.3$. На рис. 1ж–1з для СК1 показана рециркуляционная зона R, сформированная в результате отрыва набегающего на диск потока от тыльной стороны диска.

Известно, что построение 3D мгновенных линий тока с целью визуализации 3D вихревой структуры течения – трудное и неблагодарное дело. Можно легко потерять многие вихри. Поэтому для визуализации этой 3D-структур естественно было бы использовать изоповерхности модуля завихренности $\omega = |\boldsymbol{\omega}| = |\text{rot } \mathbf{v}|$ (рис. 1a). Рассмотрим сначала картины изолиний фитой компоненты завихренности ω_ϕ в вертикальной плоскости $x-z$ (рис. 1в). Из определения ω_ϕ следует, что в ячейках 1, 3 и -2 на рис. 1в, где $\omega_\phi > 0$, жидкость вращается против часовой стрелки, что подтверждается рисунком 1e. В ячейках 0, 2, $-3, -1$ на рис. 1в, где $\omega_\phi < 0$, жидкость вращается по часовой стрелке (см. рис. 1e). Изоповерхность $\omega = 0.01$ на рис. 1а визуализирует внутренние полуволны 1–3 (области течения со значительным вращением сплошной среды), но не способна показать структуру более слабых вихрей около оси z [4]. Для визуализации всей вихревой структуры 3D течения несжимаемой жидкости в статье [2] было предложено использовать изоповерхность $\lambda_2 < 0$ (рис. 2б). Здесь λ_2 – второе собственное значение симметричного тензора $\mathbf{F}^2 + \mathbf{B}^2$, где $\mathbf{F} + \mathbf{B} = \mathbf{G}$ – тензор градиента скорости с элементами $v_{i,j} = \partial v_i / \partial x_j$, $F_{i,j} = 0.5(v_{i,j} + v_{j,i})$, $B_{i,j} = 0.5(v_{i,j} - v_{j,i})$. В [2] также упоминается визуализация 3D-течений при помощи изоповерхности мнимой части β двух комплексно-сопряженных собственных значений тензора \mathbf{G} (рис. 1б, 1и). Интересно отметить, что в [2] эта мнимая часть никак не обозначается. Поэтому в разных статьях ее обозначают при помощи разных символов: $\text{Im}(\sigma_{1,2})$ [6, 15], β [8, 11, 14, 16], λ_{ci} [19], λ_{ex} [20] и т.п. Сначала использовалась λ_2 -визуализация [4], а потом β -визуализация [6, 8, 11, 14–16], которая имеет следующий ясный физический смысл. Выберем в СК1 произвольную точку M со скоростью жидкости \mathbf{v}_M в ней. Перейдем в систему отсчета СК3(\mathbf{v}_M), двигающуюся относительно СК1 со скоростью \mathbf{v}_M . Тогда скорость в точке M в СК3(\mathbf{v}_M) станет равной нулю, а для скоростей в малой окрестности этой точки будет справедливо обыкновенное дифференциальное уравнение (ОДУ) $\mathbf{v} = d\mathbf{x}/dt \approx \mathbf{G}\mathbf{x}$. Известно, что наличие двух комплексно-сопряженных собственных значений $\sigma = \alpha + i\beta$ и $\bar{\sigma} = \alpha - i\beta$ тензора \mathbf{G} в точке M дает следующее решение этого ОДУ [21]:

$$\mathbf{x} = C\mathbf{h} \exp(\sigma t) + \bar{C}\bar{\mathbf{h}} \exp(\bar{\sigma} t) + C_3\mathbf{h}_3 \exp(\sigma_3 t) = \mathbf{x}_1 + \mathbf{x}_3$$

Здесь величины C и C_3 – комплексная и действительная константы соответственно, σ_3 – третье (действительное) собственное значение тензора \mathbf{G} , \mathbf{h}_3 – третий (действительный) собственный вектор, $\mathbf{h} = \mathbf{h}_1 - i\mathbf{h}_2$ и $\bar{\mathbf{h}}$ – два комплексно-сопряженных собственных вектора тензора \mathbf{G} , \mathbf{h}_1 и \mathbf{h}_2 – два линейно независимых действительных вектора, которые являются базисом в плоскости P . Пусть комплексное число $\zeta = \xi_1 + i\xi_2 = C \exp(\sigma t)$, тогда мы имеем: $\mathbf{x}_1 = \xi_1 \cdot \mathbf{h}_1 + \xi_2 \cdot \mathbf{h}_2$. Отобразим аффинно плоскость P на вспомогательную плоскость P^* комплексного переменного ζ , чтобы вектор \mathbf{h}_1 перешел в единицу, а вектор \mathbf{h}_2 – в i . Тогда вектору $\mathbf{x}_1 = \xi_1 \cdot \mathbf{h}_1 + \xi_2 \cdot \mathbf{h}_2$ будет соответствовать комплексное число $\zeta = \xi_1 + i\xi_2$. В силу этого отображения траектория в плоскости P передаст в траекторию в плоскости P^* , описываемую уравнением $\zeta = C \exp(\sigma t)$. В полярных координатах (r, θ) $\zeta = r \exp(i\theta)$, т.е. $\xi_1 = r \cos \theta$, $\xi_2 = r \sin \theta$. Пусть $C = C_{\text{real}} \exp(iD)$, тогда $r = C_{\text{real}} \exp(\alpha t)$, $\theta = \beta t + D$. Таким образом, если $\beta \neq 0$, то можно говорить о вихревом характере движения жидкости в малой окрестности точки M в СК3(\mathbf{v}_M): молекулы жидкости движутся по овалам (при $\alpha = 0$)

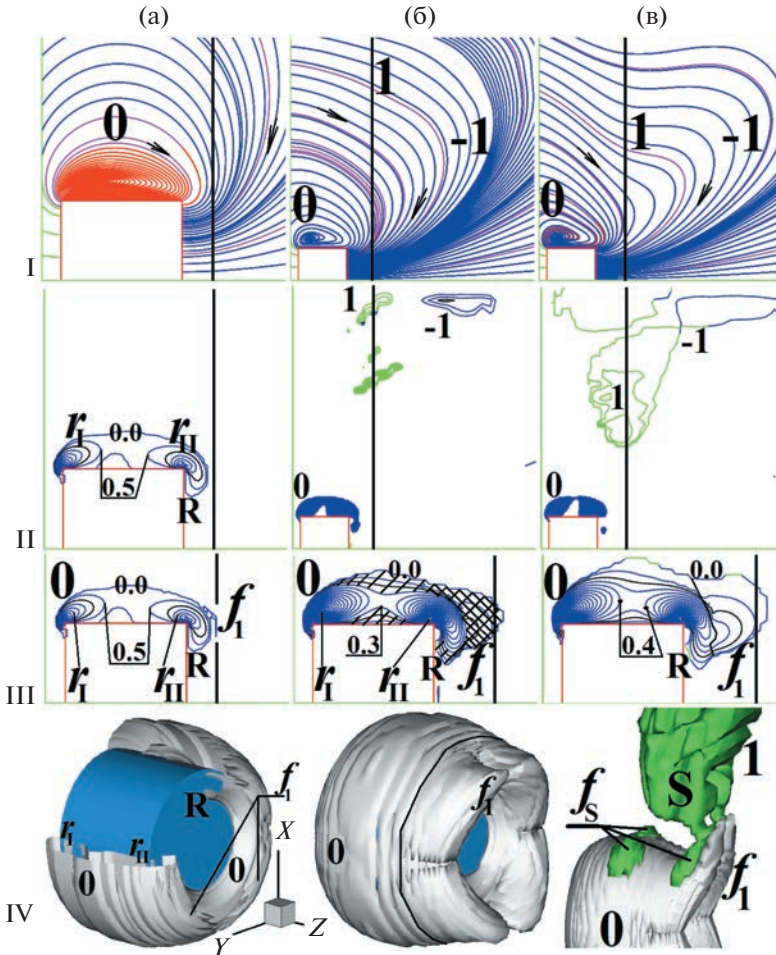


Рис. 3. Течение около диска при $Fr = 0.3$, $Re = 50$, $T_b = 2\pi$ с: $a-\sigma$ – мгновенные линии тока в СК2 (I) и изолинии $10^3 \beta+$ с шагами 500, 0.1, 1 (II) в вертикальной плоскости $x-z$, изолинии $\beta+$ с шагами 0.5, 0.1, 0.1 в плоскости $\varphi = \pi/4$ (III), изоповерхности $10^3 \beta = 0.5, 5$ и $10^3 \beta+ = \pm 0.5$ (IV) при $T = 0.1, 0.2, 0.24$.

или овальным спиралем (при $\alpha \neq 0$) и β – это усредненная по времени угловая скорость вращения молекул жидкости около точки M в СК3(v_M) [21]. Для удобства построения одноцветной изоповерхности $\beta = \beta_0 > 0$ (рис. 1и), демонстрирующей вихревую структуру течения жидкости, в тех ячейках расчетной сетки, где $\beta = 0$, функция β переопределяется: $\beta = -0.01$ [6, 8, 11, 14–16].

В [22] была введена двухцветная $\beta+$ -визуализация, которая при помощи знака ω_ϕ окрашивает полуволны впадин 1, 3 и гребней 2 на рис. 1б разными цветами, что очень удобно для исследования вихревой структуры внутренних волн (рис. 3–5, IV). Функция $\beta+$ определена при $\beta > 0$: $\beta+ = \text{sign}(\omega_\phi)\beta$, где функция $\text{sign}(\omega_\phi) = 1$ при $\omega_\phi \geq 0$, $\text{sign}(\omega_\phi) = -1$ при $\omega_\phi < 0$. Аналогичным образом можно ввести двухцветную $\omega+$ -визуализацию: $\omega+ = \text{sign}(\omega_\phi)\omega$ (рис. 1а).

Далее было замечено, что на большей площади рис. 1в $\omega_\phi < 0$. Поэтому, если на рис. 1в убрать вихревые структуры, для которых $\omega_\phi \geq 0$, то структура течения станет в два раза проще, но при этом удаленные структуры можно легко мысленно восстановить. Поэтому в [22] была введена одноцветная ($\beta-$)-визуализация течения жидкости. Функция ($\beta-$) определена при $\beta > 0$ и $\omega_\phi < 0$: $(\beta-) = \beta$ (рис. 2а). В 3D-случае при сравнении изоповерхностей $\beta+$ на рис. 1б и изоповерхности $\beta-$ на рис. 2а видно, что на рис. 2а все полуволны впадин, кроме первой, бесследно исчезают. На рис. 1б черной линией отмечена примерная граница между областями $(0 + S)$ и 1, где S – это головная часть боковой вихревой петли (рис. 2е) [11]. Удаление области $(S+1)$ оставляет грубый след на оболочке следа 0 (сравните рис. 4в, IV и 5а, IV).

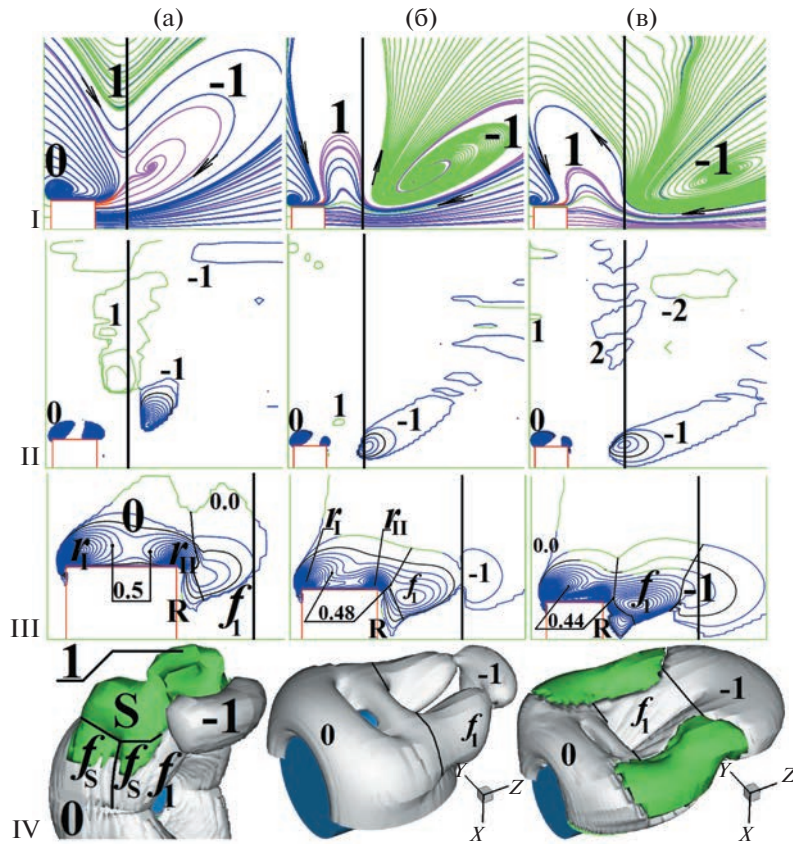


Рис. 4. Течение около диска при $Fr = 0.3$, $Re = 50$, $T_b = 2\pi$ с: $a-c$ – мгновенные линии тока в СК2 (I) и изолинии $10^2\beta+$ с шагами 0.2, 5, 5 (II) в плоскости $x-z$, изолинии $\beta+$ с шагами 0.1, 0.08, 0.04 в плоскости $\phi = \pi/4$ (III), изо-поверхности $\beta+ = \pm 0.0052$, $\beta = 0.15$, $\beta+ = \pm 0.05$ (IV) при $T = 0.28, 0.45, 0.68$.

Рис. 1г–1д демонстрируют физический смысл β для двух точек M_1 и M_2 со скоростями в СК1 $(v_z, v_R, v_\phi) = (0.973, 0.005, 0)$ (при $x > d/2$) и $(0, -0.01, 0)$, соответственно, отмеченных черными крестами. Рис. 1д разделен черной прямой $x = d/2$ на верхнюю и нижнюю части. Картинки линий тока в верхней и нижней частях рис. 1д показаны в СК3 $(0.973, 0.005, 0)$ и СК3 $(0, -0.01, 0)$, соответственно, и демонстрируют вращение жидкости в окрестностях точек M_1 и M_2 . Картинки линий тока в верхней и нижней частях рис. 1д похожи на картинки линий тока в СК2 (рис. 1е) и СК1 (рис. 1ж) соответственно. Так, на рис. 1д и 1ж при $0 \leq x \leq d/2$ мы видим зону R. А на рис. 1д и 1е при $x > d/2$ мы видим полуволны впадин и гребней. Поэтому для приблизительного описания изменения кинематики внутренних волн и отрывных течений около оси z в вертикальной плоскости можно использовать мгновенные линии тока в СК2 и СК1 соответственно. Так, на рис. 1, 3–6 для каждой картины изолиний $\beta+$ в плоскости $x-z$ приводится соответствующая ей картина мгновенных линий тока в СК2.

По аналогии с $\beta+$ и $(\beta-)$ -визуализациями можно определить λ_2+ и (λ_2-) -визуализации (рис. 2б). Функция λ_2+ определена при $\lambda_2 < 0$: $\lambda_2+ = \text{sign}(\omega_\phi)|\lambda_2|$. Функция (λ_2-) определена при $\lambda_2 < 0$ и $\omega_\phi < 0$: $(\lambda_2-) = \lambda_2$. Сравнение рис. 2а и 2б для $T = 1.5$ и $Fr = 0.8$ показывает, что топологии вихревых структур, полученные при помощи $(\beta-)$ и (λ_2-) -визуализаций, практически совпадают, но $(\beta-)$ -визуализация более гармонично представляет вихревую структуру течения жидкости. Так, на рис. 2а нити f_1 соединяются с кольцом R, а на рис. 2б не соединяются. На рис. 2а вихревое кольцо – 1 цельное, а на рис. 2б – разорвано на три части.

3. МЕХАНИЗМ ФОРМИРОВАНИЯ ВНУТРЕННИХ ВОЛН ПРИ $Fr \leq 4$

При $T = 0$ диск вносится в покоящуюся стратифицированную вязкую жидкость и сразу же начинает равномерное движение вдоль горизонтальной оси z симметрии диска справа налево.

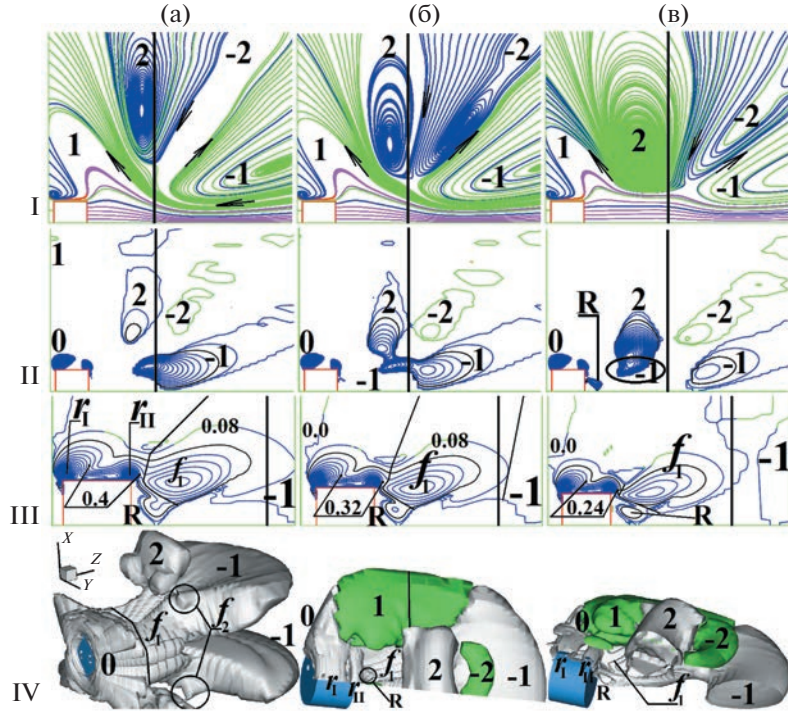


Рис. 5. Течение около диска при $Fr = 0.3$, $Re = 50$, $T_b = 2\pi$ с: а–в – мгновенные линии тока в СК2 (I) и изолинии $\beta+$ с шагом 10^{-2} (II) в плоскости x – z , изолинии $\beta+$ с шагом 0.08 в плоскости $\phi = \pi/4$ (III), изоповерхности ($\beta-$) = $= 5 \times 10^{-3}$, $\beta+ = \pm 10^{-2}, \pm 10^{-2}$ (IV) при $T = 0.8, 0.86, 1$.

На потревоженную жидкость, отклонившуюся от своего начального положения, начинают действовать силы плавучести (последний член уравнения (1.2)). С другой стороны, в результате прилипания молекул жидкости к поверхности диска, перед диском и по бокам диска на жидкость действуют силы, направленные справа налево. Эти силы приводят к генерации вихревого тора с осью симметрии z , заполняющего все пространство (рис. 3а, I при $T = 0.1$), а силы плавучести при этом генерируют гравитационные внутренние полуволны над Q (рис. 3в, I при $T = 0.24$). На рис. 3–5, IV показана динамика 3D вихревой структуры течения жидкости при $0 < T < 1$, обусловленная гравитационной и сдвиговой неустойчивостями. Гравитационная неустойчивость, в свою очередь, обусловлена силами плавучести жидкости. Каждую 3D-структуре на рис. 3–5 дополняют изолинии $\beta+$ в ее сечениях при $\phi = 0$ и $\phi = \pi/4$ и мгновенные линии тока в СК2 в вертикальной плоскости x – z (при $\phi = 0$). На рис. 3а, IV одна четверть изоповерхности $\beta = 5 \times 10^{-4}$ вырезана, чтобы показать поверхность диска.

При $T \leq 0.1$ и $Fr \leq 4$ вне осесимметричной вихревой оболочки 0 диска у тыловой острой кромки диска при $x > 0$ появляются две небольшие вихревые структуры (рис. 3а, III–IV и рис. 2а–2г, 2е, 6а–6б из [11]) – зачатки двух вихревых нитей f_1 (рис. 3б–3в, III–IV). Картина изолиний $\beta+$ в сечении $\phi = \pi/4$ демонстрирует динамику роста нитей f_1 и рециркуляционной зоны R. При $0.2 \leq T \leq 0.24$ гравитационная и сдвиговая неустойчивости приводят к тому, что форма мгновенных линий тока над точкой Q в СК2 при $\phi = 0$ из прямолинейной становится волнообразной (рис. 3в, I). Почему это происходит, подробно описано в [11]. В результате над Q формируются два каскада вихрей: 1 (слева) и -1 (справа) (рис. 3в, II). При $T = 0.28$ для $Fr = 0.3$ сердцевины каскадов 1 и -1 образуют кольцо 1 (рис. 4а, IV).

При $Fr \leq 1$ и $Fr \geq 2$ детали процесса формирования вихрей немного отличаются. Если при $0.1 < T \leq 0.28$, $Fr \geq 2$ и $x > 0$ оболочка 0 следа практически не меняется со временем, а две первые нити f_1 и две вторые (боковые) нити f_8 формируются вне оболочки 0 (рис. 2е) [11], то при $0.1 < T \leq 0.28$, $Fr \leq 1$ и $x > 0$ нити f_1 и f_8 размещаются в самой оболочке 0. Поэтому при $Fr \leq 1$ имеет смысл разделить оболочку 0 на внутреннюю 0_1 и внешнюю 0_2 части при помощи изоповерхности β_0 . Модуль β_0 приведен на рис. 3–5, III. Оболочка 0_1 слабо меняется со временем и состоит из двух колец r_1 , r_{11} , которые генерируются двумя острыми кромками диска (рис. 3а, IV). На рис. 3б, III в

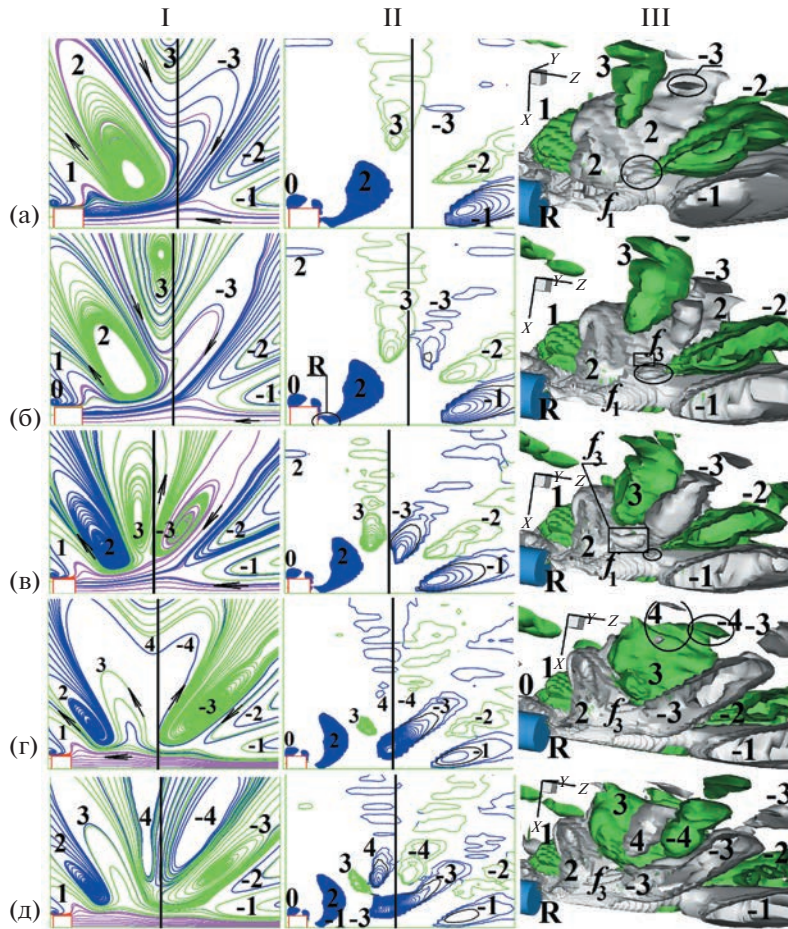


Рис. 6. Течение около диска при $Fr = 0.3$, $Re = 50$, $T_b = 2\pi$ с: а–д – мгновенные линии тока в СК2 (I) и изолинии $10^3\beta+$ с шагом 2 (II) в плоскости $x-z$, изоповерхности $\beta+ = \pm 10^{-3}$ (III) при $T = 1.25, 1.3, 1.4, 1.73, 1.9$.

сечении оболочки 0_2 при $\phi = \pi/4$ можно выделить нити f_1 , заштрихованные в клеточку, зону R у тыльной стороны диска и остальную часть 0_2 над боковой стороной диска. При $x > 0$ и $0.2 \leq T \leq 1$ две вихревые нити f_1 (ножки вихревой петли -1) являются частью каскада -1 , а петля -1 – сердцевиной каскада -1 . Генерация двух симметричных петель -1 при $x > 0$ и $x < 0$ сопровождается зарождением боковых петель S, как боковых частей двух симметричных каскадов 1. При $x > 0$ и $0.24 \leq T \leq 0.32$ для $Fr = 0.3$ наблюдаются четыре боковые нити f_S (рис. 3в, 4а, IV), для $Fr = 4$ – две нити f_S (рис. 2е). Появление петель S связано с присутствием диска и не упоминается в обсуждаемом здесь МФВВ, так как этот МФВВ посвящен непосредственно генерации внутренних волн.

Таким образом, при $0.1 \leq T \leq 0.32$ формируются две вихревые петли -1 с ножками f_1 и боковые петли S. При $T = 0.28$ для $Fr = 0.3$ сердцевины каскадов 1 и -1 образуют кольцо 1 (рис. 4а, IV), а для $Fr = 4$ полукольцо 1 похоже на арку (как на рис. 3б в статье [11]), радиус которой примерно в пять раз больше радиуса полукольца -1 . Поэтому в формулировке МФВВ надо говорить о формировании не одного вихревого кольца 1, а двух каскадов вихрей 1 и -1 , сердцевинами которых будут полукольца 1 и -1 .

При $0.28 < T \leq 0.45$ и $Fr = 0.3$ диаметр $D(1)$ сечения полукольца 1 плоскостью $x-z$ уменьшается в три раза, а далее исчезает совсем. $D(1) = 0$ говорит о том, что полукольцо 1 при $x > 0$ разделилось на две половинки, симметричные относительно плоскости $x-z$. При $x > 0$ и $0.28 \leq T \leq 0.8$ диск сдвигается влево, а каскад -1 остается у точки Q, поэтому ножки f_1 петли -1 вытягивается в горизонтальном направлении (рис. 4б–4в, 5а, IV); полукольцо -1 сплющивается в вертикальном направлении и превращается в полукруг -1 . На рис. 4б и 4в, IV показаны только половины изоповерхностей β для того, чтобы показать диск. При $0.5 \leq T \leq 0.8$ над Q из-за гравитационной и

сдвиговой неустойчивостей генерируются каскады вихрей 2 и -2 . Каскад вихрей 2 со временем станет полуволной гребней 2. Вихревые нити f_2 , обведенные черными кругами на рис. 5а, IV для $Fr = 0.3$ или представленные в форме полукольцевой перемычки между нитями f_1 на рис. За из [11] для $Fr = 4$, — это нижние части каскада вихрей 2. Таким образом, при $Fr = 4$ полуволны гребней формируются из четных нитей около Q , а не из полуколец над Q как при $Fr = 0.3$.

Пусть $\beta_{\max}(k)$ — значение локального максимума функции β в сечении полукольца k плоскостью $x-z$. При $T = 0.8$ и $Fr = 0.3$ сердцевина каскада 2 приближается к оси z , $\beta_{\max}(2) = 0.025$, $\beta_{\max}(-1) = 0.142$, т.е. полуокружность -1 обладает наибольшим β_{\max} в сечении $\phi = 0$ вне оболочки диска (рис. 5а, II). При $x > 0$ и $T = 0.86$ каскад 2 садится на левый край полуокружности -1 , $\beta_{\max}(2)$ увеличивается до 0.088, значения β перераспределяются между левым и правым краями полуокружности -1 : $\beta_{\max}(-1, \text{левый}) = 0.12$, $\beta_{\max}(-1, \text{правый}) = 0.068$ (рис. 5б, II). Теперь в СК2 через нити f_1 прокачивается жидкость, поступившая как из полуокружности -1 , так и из каскада 2, что в дальнейшем при $T = 1$ приводит к трансформации полуокружности -1 в кольцо -1 (рис. 5в, II, $\beta_{\max}(2) = 0.22$, $\beta_{\max}(-1) = 0.038$). На рис. 5б и 5в, IV изоповерхности β показаны при $-\pi/2 \leq \phi \leq \pi/10$ для того, чтобы показать диск. Таким образом, в результате слияния при $0.86 \leq T \leq 1$ сердцевины каскада 2 и левой части полуокружности -1 каскад 2 стал обладать наибольшим β_{\max} в сечении $\phi = 0$ вне оболочки диска.

Итак, при $T \leq 1$ над Q периодически в течение каждой $\Delta T = 0.5$ формируются каскады вихрей k и $-k$, где $k = 1, 2$. Сердцевины каскадов -1 и 1 состоят из вихревой петли -1 (с ножками f_1 и полуокружностью -1) и из полуокольца 1 с боковыми петлями S соответственно. Сначала каскад 2 состоит из нитей f_2 (около Q) и полуокольца 2, которое потом садится на левую часть полуокружности -1 . В результате формируются полуволна впадин 1 (над нитями f_1) и полуволна гребней 2. Фундаментом вихревой структуры первой волны при $T = 1$ является горизонтальное кольцо -1 , сформированное из полуокольца -1 .

Описанный выше процесс формирования вихрей для $T \leq 1$ схематически представлен на рис. 2в–2г. Его можно обобщить на любой другой интервал времени $(n-1) < T \leq n$, где $n = 2, 3, 4, \dots$. Действительно, при $T > 0$ над Q периодически в течение каждого интервала времени $0.5(k-1) < T \leq 0.5k$ формируются левый k и правый $-k$ каскады вихрей. Они состоят из нитей f_k около Q и деформированных полуокольца k и $-k$, где $k = 1, 2, 3, \dots$. Для каждого нечетного k у оси z формируется вихревая петля $-k$. Она состоит из нитей f_k и нижнего полуокольца $-k$, на которое потом садится четный каскад $(k+1)$. Далее нижнее полуокольцо $-k$ становится деформированным кольцом. Таким образом, в течение каждого интервала времени $(n-1) < T \leq n$ формируется внутренняя волна n , состоящая из полуволн впадин $k = (2n-1)$ и гребня $(k+1) = 2n$. Левая часть кольца $-k$ становится осевой частью гребня $(k+1)$. В результате осевые части гребней оказываются связанными друг с другом нечетными нитями в цепочку. МФВВ для $Fr \leq 4$ и $\Delta T = 1$ можно сформулировать короче. Нечетные каскады k и $-k$, нити f_k + нижний вихрь $-k$; четные каскады $(k+1)$ и $-(k+1)$, нити $(k+1)$, каскад $(k+1)$ садится на нижний вихрь $-k$ (рис. 2в–2д).

На рис. 2ж приведен график зависимости коэффициента C_d лобового сопротивления диска от времени t при $Fr = 0.3$. Волнообразная форма графика при $T \leq 1$ обусловлена тем, что при $T \leq 1$ точка Q , над которой работает МФВВ, находится около диска. Реализация МФВВ приводит к возмущению полей векторов скорости и давления у поверхности диска, которые и определяют C_d .

Если при $T \leq 4$ и $Fr = 0.3$ реализации МФВВ для разных временных интервалов $\Delta T = 1$ немногото отличаются друг от друга, то при $T > 3$ и $Fr = 0.3$ похожи друг на друга. Ниже подробно описываются реализации МФВВ при $1 < T \leq 3$, $Fr = 0.3$, $T_b = 2\pi$ с и $Re = 50$, опираясь на рис. 1, 6–7. Описание особенностей МФВВ при $T > 3$ приведено без помощи рисунков.

4. ДЕТАЛИЗАЦИЯ ПРОЦЕССА ГЕНЕРАЦИИ ВОЛН ПРИ $Fr = 0.3$ И $T > 1$

Рассмотрим теперь более детально МФВВ при $1 < T \leq 2$ (рис. 6, 2д, 1). Так как при $T = 1$ и $Fr = 4$ точка Q достигла внешней границы расчетной сетки, то дальнейшее исследование МФВВ при $Fr = 4$ стало невозможным. При $1 < T \leq 1.3$ и $Fr = 0.3$ над точкой Q генерируются каскады вихрей 3 и -3 (рис. 6а–6б). При $1 < T \leq 1.3$ $\beta_{\max}(2)$ увеличивается до 0.33. При $T > 1.3$ $\beta_{\max}(2)$ больше не меняется, что говорит о том, что при $T = 1.3$ гребень 2 и вихревая структура левее его уже примерно сформировались. На рис. 6, III и 7, II изоповерхности β показаны при $\pi/2 \leq \phi \leq \pi$ для того, чтобы показать диск и для лучшего понимания 3D вихревой структуры течения жидкости. При $T = 1.25$ на рис. 6а, III широкий “амфитеатр” полуволны 2 стоит перед меньшей по размерам “сценой” полуокольца -2 , боковые части которого выделены черной окружностью. Эти боковые

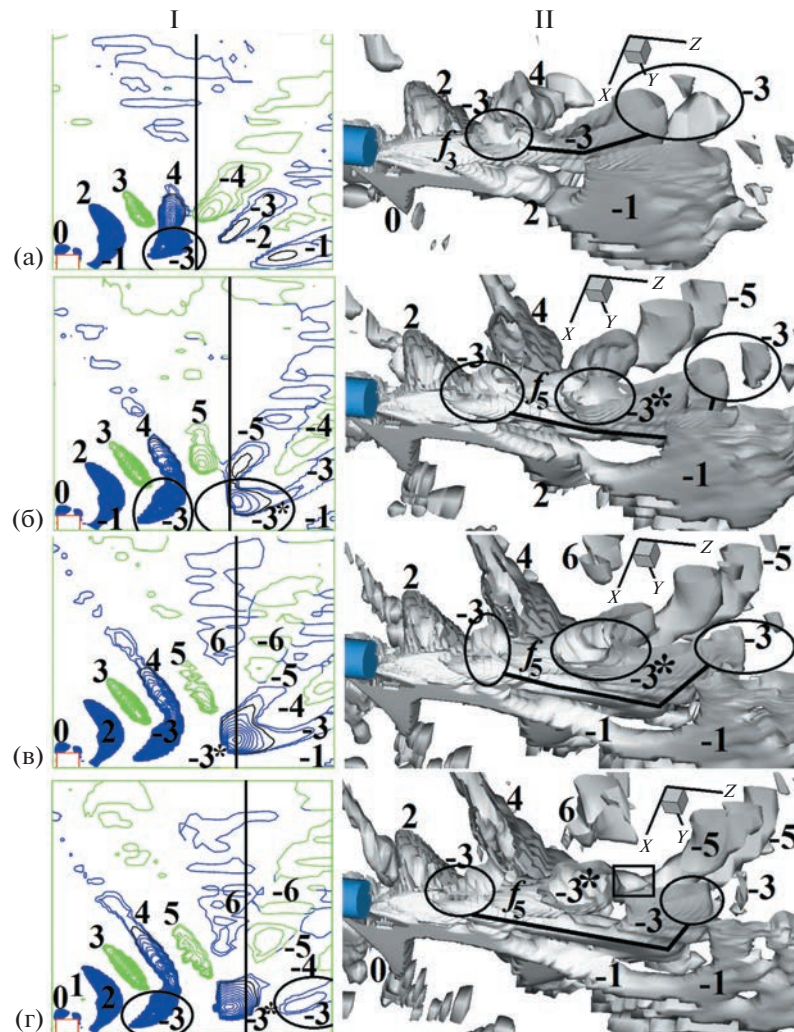


Рис. 7. Течение около диска при $Fr = 0.3$, $Re = 50$, $T_b = 2\pi$ с: $a-g$ – изолинии $10^3\beta+$ с шагом 2 (I) в плоскости $x-z$, изоповерхности ($\beta-$) = 10^{-3} (II) при $T = 2.05, 2.6, 2.8, 2.95$.

части индуцируют появление нитей f_3 над точкой Q при $T = 1.3$. Нити f_3 , выделенные черным прямоугольником на рис. 6б–6в, III, являются частью формирующегося каскада -3 . При $T = 1.4$ полуоколо -2 отрывается от полуволны 2, $\beta_{\max}(3) = 0.021$, $\beta_{\max}(-3) = 0.013$, размеры нитей f_3 увеличиваются (рис. 6в, III). Нити f_3 расположены выше нитей f_1 . Картина течения при $T = 1.5$, представленная на рис. 1а–1з и 2а–2б, уже была подробно описана в подразделе 2 настоящей статьи. Здесь к этому описанию остается добавить устоявшуюся внутреннюю структуру (“скелет”) первой волны на рис. 1и, где боковые нити f_5 соединены с кольцом r_1 , а нити f_1 – с кольцом r_{II} . Здесь так же видно, что при $T = 1.5$ сердцевина полуволны 2 – это деформированное кольцо 2 (рис. 1к). На рис. 6г, III при $T = 1.73$ нити f_3 соединены с кольцом 2. Таким образом, в стратифицированной жидкости каждое вихревое кольцо связано с четырьмя нитями. В то время как в однородной жидкости вихревое кольцо связано только с двумя нитями [6].

При $1.5 < T \leq 1.73$ над точкой Q генерируются каскады вихрей 4 и -4 (рис. 6г). При $1.3 < T \leq 1.73$ $\beta_{\max}(-2)$ уменьшается до 0.003. При $1.4 < T \leq 1.73$ $\beta_{\max}(3)$ и $\beta_{\max}(-3)$ увеличиваются до 0.027 и 0.052, соответственно (рис. 6г, II), полуоколо -3 превращается в полуокруг -3 , из нитей f_3 и полуокруга -3 формируется вихревая петля -3 (рис. 6г, III); $D(3)$ уменьшается примерно в полтора раза (аналогично уменьшению $D(1)$ при $0.28 < T \leq 0.45$), но при этом объем полуволны впадин 3 значительно увеличивается. При $1.73 < T \leq 1.9$ $\beta_{\max}(3)$ уменьшается до 0.023, $\beta_{\max}(-3)$ увеличивается до 0.057 (рис. 6д, II). При $T = 1.9$ $\beta_{\max}(4) = 0.0124$, $\beta_{\max}(-4) = 0.0056$.

При $1.9 < T \leq 2.05$ развиваются две полуволны 4 и -4. Вертикальная полуволна 4 садится на левую часть вытянутого горизонтального полукруга -3, который затем трансформируется в деформированное кольцо -3, выделенное на рис. 7а, II двумя черными кругами с черной ломаной кривой между ними; $\beta_{\max}(-3) = 0.0046$, $\beta_{\max}(4)$ и $\beta_{\max}(-4)$ увеличиваются до 0.08 и 0.0092 соответственно. Таким образом, при $1 < T \leq 2$ формируются полуволна впадин 3 над нитями f_3 и полуволна гребней 4. Фундаментом вихревой структуры второй волны при $T = 2$ является горизонтальное кольцо -3. При $2.05 < T \leq 2.95$ диаметры деформированных колец -1 и -3 постепенно увеличиваются (рис. 7, II).

При $2.05 < T \leq 2.5$ над точкой Q генерируются каскады вихрей 5 и -5. Если каскады -1 и -3 во время своего зарождения при $T = 0.28$ и 1.3, соответственно, имели одну ярко выраженную сердцевину, то на рис. 7б-7г при $2.6 \leq T \leq 2.95$ наблюдаются сразу три сердцевины каскада -5 в форме полуколец. При $2.1 \leq T \leq 2.5$ боковые части полукольца -4 формируют нити f_5 (аналогично формированию нитей f_3), которые стыкуются с нижним полукольцом каскада -5, которое при $T = 2.6$ соприкасается с верхней частью левого внутреннего куска -3* правой части кольца -3 (рис. 7б). В силу того, что кусок -3* расположен ближе к оси z , то $\beta_{\max}(-3) = 0.011 > 0.005 = \beta_{\max}(-5)$. Поэтому при $2.6 < T \leq 2.8$ кусок -3* поглощает полукольцо -5, т.е. $-3^* := (-3*) + (-5)$. В результате нити f_5 соединяются с куском -3* (рис. 7в). При $2.5 < T \leq 2.95$ над точкой Q генерируются каскады вихрей 6 и -6. При $2.8 < T \leq 2.95$ кусок -3* отрывается от правой части кольца -3 и трансформируется в сильно деформированное кольцо $-3^* \equiv -5$, боковая часть которого выделена черным прямоугольником на рис. 7г, II. Далее вертикальный каскад 6 садится на левую часть кольца -5, а полуволна 1, состоящая ранее из двух половинок, снова становится полноценным полукольцом, $\beta_{\max}(1) = 0.008$ (рис. 7г, I). Таким образом, при $2 < T \leq 3$ формируются полуволна впадин 5 над нитями f_5 и полуволна гребней 6. Фундаментом вихревой структуры третьей волны является кольцо -5. При $T \geq 2.8$ $\beta_{\max}(4) = 0.14 < 0.33 = \beta_{\max}(2)$, т.е. при $T = 2.8$ гребень 4 и вихревая структура левее его уже примерно сформировались. Поэтому ширина полуволн 2-4 на рис. 7в-7г, измеряемая вдоль прямой, перпендикулярной им, приблизительно равна $\pi Fr d \approx 0.94d$. Это хорошо согласуется с линейной теорией внутренних волн.

При $T = 2.95$ вихревые кольца -1 и -3 вместе с полукольцами -5 и -6 создают вихревое "гнездо" (рис. 7г). В нем потом генерируются каскады вихрей 7 и -7 с несколькими сердцевинами, далее у оси z появляется вихревая петля -7, затем формируются вихревые каскады 8 и -8 и каскад 8 садится на головную часть петли -7. При $T = 4$ и $\pi/2 \leq \phi \leq \pi$ боковая часть кольца -5 становится дополнительной нитью, связывающей осевые части гребней -5 и -7 наряду с нитью f_7 . Для числа $Fr = 0.3$ все МФВВ при $T > 4$ похожи на МФВВ при $3 < T \leq 4$. В результате осевые части гребней оказываются связанными друг с другом в цепочку нечетными нитями как "позвонки" "скелета" вихревой структуры течения (рис. 7г, II). На каждый такой "позвонок" прикреплены две полуволны (впадин и гребня). По мере уменьшения Fr горизонтальные размеры между центрами "позвонков", равные $2\pi Fr d$, уменьшаются.

ЗАКЛЮЧЕНИЕ

Проведено математическое моделирование равномерного движения диска с диаметром d и толщиной $h = 0.76d$ в горизонтальном направлении вдоль его оси симметрии Z в покоящейся линейно стратифицированной по плотности несжимаемой вязкой жидкости при $Re = 50$, $T_b = 2\pi$ с и в широком диапазоне Fr . Диск генерирует пространственные (3D) гравитационные внутренние волны, занимающие все пространство между диском и местом Q его старта. Существенно дополнен опубликованный в [11] МФВ, работающий при формировании гравитационных внутренних волн, полученный на основе анализа динамики 3D вихревой структуры течения жидкости, визуализируемой при помощи изоповерхности мнимой части $\beta > 0$ комплексно-сопряженных собственных значений тензора градиента скорости. Для нахождения β в каждом узле расчетной сетки при помощи численного метода МЕРАНЖ [13] решалась система уравнений Навье-Стокса в приближении Буссинеска, записанная в цилиндрической системе координат. Для большей наглядности полуволны гребней и впадин были окрашены разными цветами в зависимости от знака угловой компоненты завихренности ω_ϕ на них. Такая визуализация получила наименование β^+ [22].

В [11] основное внимание уделяется периодическому процессу зарождения деформированных вихревых колец над точкой Q , происходящему в силу гравитационной и сдвиговой неустойчивостей. Тогда левое полукольцо трансформируется в полуволну впадин или гребней, а правое

полукольцо исчезает со временем. В настоящей работе подчеркивается важная роль нечетных правых полуколец в МФВ и сформулирован следующий универсальный МФВВ за диском для $Re = 50$, $T_b = 2\pi$ с и $Fr \leq 4$ в верхнем полупространстве над осью z . При $T > 0$ периодически в течение каждой $\Delta T = 0.5$ над точкой Q формируются левый k и правый $-k$ каскады вихрей, состоящие из нитей f_k около Q и деформированных полуколец k и $-k$, где $k = 1, 2, 3, \dots$ (см. рис. 3б–4а и 5а–5б для $k = 1$ и 2 соответственно). Для каждого нечетного k у оси z формируется вихревая петля $-k$, состоящая из нитей f_k и нижнего полукольца $-k$, на которое потом садится четный каскад $(k+1)$. Далее головная часть петли $-k$ становится деформированным кольцом. Таким образом, в течение каждой $\Delta T = 1$ формируется новая внутренняя волна, состоящая из полу волн впадин k и гребня $(k+1)$. Левая часть кольца $-k$ становится осевой частью гребня $(k+1)$. В результате осевые части гребней оказываются связанными друг с другом в цепочку нечетными нитями. Чтобы увидеть эту вихревую цепочку, нужно визуализировать только ту часть изоповерхности $\beta = \beta_0$, на которой $\omega_\phi < 0$. Такая визуализация получила наименование $(\beta-)$ [22]. Для разных интервалов $\Delta T = 1$ МФВВ имеет свои особенности, подробно описанные в настоящей работе. Существует небольшая зависимость МФВВ от Fr . Например, при $0.8 < Fr \leq 4$ полуволны гребней формируются из четных нитей около Q , а не из полуколец над Q как при $Fr \leq 0.5$. При $Fr = 0.8$ и $T \geq 1$ все МФВВ для разных временных интервалов $\Delta T = 1$ похожи на МФВВ при $Fr = 0.3$ и $T \geq 3$.

Таким образом, в настоящей работе приведены детальное описание и результаты расчетно-теоретического анализа динамики формирования пространственных вихревых структур в линейно стратифицированной вязкой сплошной среде, создаваемых движущимися в горизонтальном направлении объектами в форме диска.

Расчеты проводились на вычислительных ресурсах Межведомственного суперкомпьютерного центра Российской академии наук (МСЦ РАН).

СПИСОК ЛИТЕРАТУРЫ

1. Shirayama S., Kuwahara K. Patterns of three-dimensional boundary layer separation // AIAA-87-0461, 1987.
2. Jeong J., Hussain F. On the identification of a vortex // J. Fluid Mech. 1995. V. 285. P. 69–94.
3. Johnson T.A., Patel V.C. Flow past a sphere up to a Reynolds number of 300 // J. Fluid Mech. 1999. V. 378. P. 19–70.
4. Матюшин П.В. Численное моделирование пространственных отрывных течений однородной несжимаемой вязкой жидкости около сферы: Дис. ... канд. физ.-мат. наук: 05.13.18. М., 2003. 194 с.
5. Sakamoto H., Haniu H. A study on vortex shedding from spheres in a uniform flow // Trans. ASME: J. Fluids Engng. 1990. V. 112. P. 386–392.
6. Гущин В.А., Матюшин П.В. Механизмы формирования вихрей в следе за сферой при $200 < Re < 380$ // Изв. РАН. МЖГ. 2006. № 5. С. 135–151.
7. Байдулов В.Г., Матюшин П.В., Чашечкин Ю.Д. Эволюция течения, индуцированного диффузией на сфере, погруженной в непрерывно стратифицированную жидкость // Изв. РАН. МЖГ. 2007. № 2. С. 130–143.
8. Матюшин П.В. Эволюция течения, индуцированного диффузией на диске, погруженному в стратифицированную вязкую жидкость // Журнал “Математическое моделирование”. 2018. Т. 30. № 11. С. 44–58.
9. Lighthill J. Waves in Fluids. Cambridge: CUP, 1978. = Лайтхилл Дж. Волны в жидкостях. М.: Мир, 1981. 598 с.
10. Миткин В.В., Чашечкин Ю.Д. Трансформация висящих разрывов в вихревые системы в стратифицированном течении за цилиндром // Изв. РАН. МЖГ. 2007. № 1. С. 15–28.
11. Матюшин П.В. Процесс формирования внутренних волн, инициированный началом движения тела в стратифицированной вязкой жидкости // Известия РАН. Механика жидкости и газа. 2019. № 3. С. 83–97.
12. Boussinesq J. Essai sur la théorie des eaux courantes // Comptes rendus de l'Académie des Sciences. 1877. V. 23. P. 1–680.
13. Белоцерковский О.М., Гущин В.А., Коньшин В.Н. Метод расщепления для исследования течений стратифицированной жидкости со свободной поверхностью // ЖВМ и МФ. 1987. Т. 27. № 4. С. 594–609.
14. Матюшин П.В. Классификация режимов течений стратифицированной вязкой жидкости около диска // Научный журнал “Процессы в геосредах”. 2017. № 4 (13). С. 678–687.
15. Matyushin P.V. The vortex structures of the 3D separated stratified fluid flows around a sphere // Сборник докладов Международной конференции “Потоки и структуры в жидкостях” (Санкт-Петербург, 2–5 июля 2007 г.). С. 75–78.

16. Гущин В.А., Матюшин П.В. Моделирование и исследование течений стратифицированной жидкости около тел конечных размеров // Журнал вычислительной математики и математической физики. 2016. Т. 56. № 6. С. 1049–63.
17. Lin Q., Lindberg W.R., Boyer D.L., Fernando H.J.S. Stratified flow past a sphere // J. Fluid Mech. 1992. V. 240. P. 315–354.
18. Chomaz J.M., Bonneton P., Hopfinger E.J. The structure of the near wake of a sphere moving horizontally in a stratified fluid // J. Fluid Mech. 1993. V. 254. P. 1–21.
19. Wang Y., Gao Y., Liu J., Liu C. Explicit formula for the Liutex vector and physical meaning of vorticity based on the Liutex-Shear decomposition // Journal of Hydrodynamics. 2019. V. 31. № 3. P. 464–474.
20. Zhou J., Adrian R.J., Balachandar S., Kendall T.M. Mechanisms for generating coherent packets of hairpin vortices in channel flow // J. Fluid Mech. 1999. V. 387. P. 353–396.
21. Понtryagin Л.С. Обыкновенные дифференциальные уравнения. М.: Наука, 1974. 331 с.
22. Матюшин П.В. Вихревая структура, генерируемая равномерным движением диска в сильно стратифицированной вязкой жидкости // “Волны и вихри в сложных средах”: 12-я Международная конференция – школа молодых ученых; 01–03 декабря 2021 г.; Сборник материалов школы. М.: ООО “ИСПО-принт”, 2021. С. 160–162.